

Courbes Elliptiques, Graphes et Cycles d'Isogénies *par des Exemples* et le Cryptosystème de Rostovtsev et Stolbunov

Emmanuel FOUOTSA

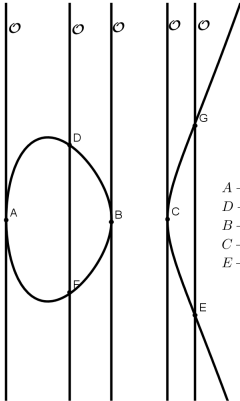
Université de Bamenda, Cameroun
Ecole Normale Supérieure de Bambili
Département de Mathématiques

FAST- Institut de Mathématiques de Bordeaux, France

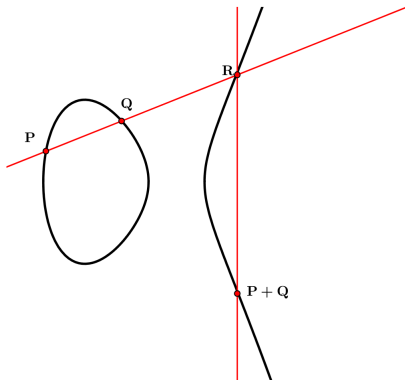
September 6, 2017

- 1 Courbes Elliptiques et Isogénies
- 2 Corps quadratiques imaginaires, ordres et formes quadratiques binaires
- 3 Réseaux et courbes elliptiques sur \mathbb{C}
- 4 Graphes d'isogénies des courbes elliptiques ordinaires
- 5 Cycles et étoiles d'isogénies
- 6 Le cryptosystème de Rostovtsev et Stolbunov

Partie 1: Bref Rappel sur les Courbes Elliptiques et Isogénies



$A + A = \mathcal{O}$; donc $A = -A$
 $D + F = \mathcal{O}$; donc $D = -F$
 $B + B = \mathcal{O}$; donc $B = -B$
 $C + C = \mathcal{O}$; donc $C = -C$
 $E + G = \mathcal{O}$; donc $E = -G$



Soient $P(x_P, y_P)$ et $Q(x_Q, y_Q)$ deux points de E et $P + Q(x_{P+Q}, y_{P+Q})$.

- $\lambda = \frac{y_Q - y_P}{x_Q - x_P}$ si $P \neq Q$
- $\lambda = \frac{dy}{dx}|_P = \frac{3x_P^2 + A}{2y_P}$ si $P = Q$.

D'où

$$x_{P+Q} = x_R = \lambda^2 - x_P - x_Q \text{ et } y_{P+Q} = -y_R = -\lambda(x_R - x_P) - y_P$$

Soit F un corps, $\mathbb{P}^2(F)$ désigne l'ensemble des triplets projectifs $(x : y : z)$, $(x, y, z) \neq (0, 0, 0)$ avec $x, y, z \in F$ tels que $(x : y : z)$ et $(\lambda x : \lambda y : \lambda z)$ sont équivalents pour tout $\lambda \in F^*$

Definition 1

Soient C_1 et C_2 deux courbes du plan projectif définies sur k .

- 1 Une application rationnelle $\varphi : C_1 \rightarrow C_2$ est un triplet projectif $(\varphi_x : \varphi_y : \varphi_z) \in \mathbb{P}^2(k(C_1))$, tel que pour tout point $P \in C_1(\bar{k})$ $(\varphi_x(P) : \varphi_y(P) : \varphi_z(P)) \in C_2(\bar{k})$
- 2 Soient E_1 et E_2 deux courbes elliptiques sur un corps k . Une **isogénie** de E_1 dans E_2 est une application rationnelle ϕ non constante et telle que $\phi(\mathcal{O}) = \mathcal{O}'$. Cela induit un homomorphisme de groupe ϕ de $E_1(\bar{k})$ dans $E_2(\bar{k})$ de groupes.

Exemple 1

Soit E/k une courbe elliptique définie par l'équation réduite de Weierstrass:

$$y^2 = x^3 + Ax + B.$$

- 1 **L'opposé.** En coordonnées projective, l'application $\phi : E \rightarrow E$ qui à $(x : y : z) \mapsto (x : -y : z)$ est un morphisme (E est une courbe projective lisse) qui est évidemment une application rationnelle. De plus $\phi(0 : 1 : 0) = (0 : 1 : 0)$ et est non constant, d'où ϕ est une isogénie.
- 2 **La multiplication par n .**
- 3 **L'endomorphisme de Frobenius.** Soit E une courbe elliptique définie sur un corps fini \mathbb{F}_q . L'endomorphisme de Frobenius de E est l'application $\pi_E : (x : y : z) \mapsto (x^q : y^q : z^q)$.

Theorem 2

Soient E_1 et E_2 deux courbes elliptiques définies sur k par l'équation réduite de Weierstrass, soit $\alpha : E_1 \rightarrow E_2$ définie sur k . Alors α peut être définie par l'application rationnelle de la forme

$$\alpha(x, y) = \left(\frac{u(x)}{v(x)}, \frac{s(x)}{t(x)}y \right),$$

avec $u, v, s, t \in k[x]$ et $\text{pgcd}(u, v) = \text{pgcd}(s, t) = 1$.

- 1 Alors $v^3 \mid t^2$ et $t^2 \mid v^3 f_1$. De plus v et t ont le même nombre de racines dans \bar{k} .
- 2 Le degré de α est défini par $\deg \alpha := \max\{\deg u, \deg v\}$, on dit que α est **séparable** si $(\frac{u}{v})' \neq 0$, sinon α est **inséparable**.
- 3 $(x_0, y_0) \in \ker \alpha \iff v(x_0) = 0$.
- 4 $\alpha : E_1 \rightarrow E_2$ une isogénie de courbes elliptiques définie sur k . Alors $\ker \alpha$ est un sous groupe fini de $E_1(\bar{k})$.
- 5 L'ordre du noyau d'une isogénie est égal à son degré séparable.
- 6 Tout isogénie de degré composé peut toujours se décomposer en une suite d'isogénies de degré premier.

Definition 3

Soit E une courbe elliptique définie sur un corps k de caractéristique non nulle p .

On dit que la courbe E est ordinaire si $E[p] \simeq \mathbb{Z}/p\mathbb{Z}$.

On dit que la courbe E est super-singulière si $E[p] \simeq \{0\}$.

Theorem 4

Soit E/\mathbb{F}_q une courbe elliptique, alors

① (Hasse)

$$\#E(\mathbb{F}_q) = q + 1 - \text{tr}(\pi_E) \text{ et } |\text{tr}(\pi_E)| < 2\sqrt{q}$$

② E/\mathbb{F}_q est super-singulière si et seulement si $\text{tr}(\pi_E) \equiv 0 \pmod{p}$

Soient E_1 et E_2 deux courbes elliptiques, alors $\text{Hom}(E_1, E_2) = \{\phi : E_1 \longrightarrow E_2\}$ est un groupe avec $(\phi_1 + \phi_2)(P) = \phi_1(P) + \phi_2(P)$. Si $E_1 = E_2$, on peut aussi composer les isogénies.

Definition 5

Soit E une courbe elliptique sur K , on définit alors l'anneau d'endomorphisme de E , par $\text{End}_K(E) = \text{Hom}(E, E)$ avec la multiplication donnée par la composée des isogénies $\left((\phi_1 \phi_2)(P) = \phi_1(\phi_2(P)) \right)$ et l'addition celle du groupe sous-jacent.

Definition 6

Soient $\mathbb{K} = \mathbb{Q}(\sqrt{d})$ un corps quadratique imaginaire avec $d < 0$, \mathcal{O} l'anneau des entiers de \mathbb{K} ($\mathcal{O} = \{\alpha \in \mathbb{K} : \text{le polynôme minimal de } \alpha \text{ est dans } \mathbb{Z}[X]\}$). Alors pour chaque entier $f > 0$, l'anneau $\mathbb{Z} + f\mathcal{O}$ est un ordre de \mathbb{K} .

Une algèbre de quaternion sur \mathbb{Q} est une algèbre de la forme $\mathbb{Q} + \mathbb{Q}\alpha + \mathbb{Q}\beta + \mathbb{Q}\alpha\beta$ avec la règle de multiplication $\alpha^2, \beta^2 \in \mathbb{Q}$, $\alpha^2, \beta^2 < 0$ et $\alpha\beta = -\beta\alpha$.

Theorem 7

Soit E une courbe elliptique sur \mathbb{K} . $\text{End}_K(E)$ peut être soit:

- (i) \mathbb{Z} ,
- (ii) un ordre dans un corps quadratique imaginaire (E est dite ordinaire),
- (iii) un ordre dans une algèbre de quaternion (E est dite super-singulière).

Si $\mathbb{Z} \subsetneq \text{End}_K(E)$, on dit que la E est à multiplication complexe.

Partie 2: Corps quadratiques imaginaires, ordres et formes quadratiques binaires

Définition 2.1

Un **discriminant fondamental** est un entier D vérifiant (i) ou (ii):

- (i) $D \equiv 1 \pmod{4}$ et D est sans diviseur carré;
- (ii) $D \equiv 0 \pmod{4}$; $D/4$ est sans diviseur carré et $D/4 \equiv 2, 3 \pmod{4}$.

Exemple 2

$-19; -15, -11; -8; -7; -4; -3; 1; 5; 8; 12; 13; 17; \dots$ sont des discriminants fondamentaux.

$-5; -2; -1; 0, 2, 3$ et 4 ne sont pas des discriminants fondamentaux.

Définition 2.2

Un **corps quadratique imaginaire** est une extension de degré 2 de \mathbb{Q} de la forme

$$K_D = \mathbb{Q}(\sqrt{D}) = \{\alpha + \beta\sqrt{D} \mid \alpha, \beta \in \mathbb{Q}\}$$

où D est un discriminant fondamental négatif. D est appelé le discriminant de K_D .

Notation 2.1

On pose

$$\delta = \begin{cases} \frac{1+\sqrt{D}}{2} & \text{si } D \equiv 1 \pmod{4} \\ \sqrt{D/4} & \text{si } D \equiv 0 \pmod{4} \end{cases}$$

Définition 2.3

On appelle **ordre** de K_D tout sous-anneau O_f de K_D de la forme

$$O_f = \mathbb{Z}[f\delta] = \{a + bf\delta \mid a, b \in \mathbb{Z}\}$$

où f est un entier positif. f est appelé le conducteur de l'ordre O_f et f^2D est le discriminant de l'ordre O_f .

$O_1 = O_{K_D}$ est appelé l'**ordre maximal** de K_D . Il contient tous les ordres de K_D .

Proposition 2.1 (Henri Cohen)

Tout nombre négatif A tel que $A \equiv 0, 1 \pmod{4}$ s'écrit de façon unique $A = f^2D$ où D est un discriminant fondamental et A est le discriminant d'un unique ordre de K_D .

Exemple 3

-3 est un discriminant fondamental négatif et on a :

$$K_{-3} = \mathbb{Q}(\sqrt{-3}) = \{\alpha + \beta\sqrt{-3} \mid \alpha, \beta \in \mathbb{Q}\}$$

Puisque $-3 \equiv 1 \pmod{4}$, alors $\delta = \frac{1+\sqrt{-3}}{2}$. L'ordre maximal de K_{-3} est

$$O_{K_{-3}} = \mathbb{Z}\left[\frac{1+\sqrt{-3}}{2}\right] = \left\{a + b\left(\frac{1+\sqrt{-3}}{2}\right) \mid a, b \in \mathbb{Z}\right\}$$

O_2 est un ordre de conducteur 2, de discriminant $2^2 \times (-3) = -12$ et a la forme

$$O_2 = \mathbb{Z}\left[2\left(\frac{1+\sqrt{-3}}{2}\right)\right] = \mathbb{Z} + (1 + \sqrt{-3})\mathbb{Z} = \mathbb{Z} + \sqrt{-3}\mathbb{Z} = \mathbb{Z}[\sqrt{-3}]$$

Exemple 4

-8 est un discriminant fondamental négatif et on a:

$$K_{-8} = \mathbb{Q}(\sqrt{-8}) = \{\alpha + \beta\sqrt{-8} \mid \alpha, \beta \in \mathbb{Q}\}$$

Puisque $-8 \equiv 0 \pmod{4}$, alors $\delta = \sqrt{-8/4} = \sqrt{-2}$. L'ordre maximal de K_{-8} est

$$O_{K_{-8}} = \mathbb{Z}[\sqrt{-2}] = \{a + b\sqrt{-2} \mid a, b \in \mathbb{Z}\}$$

O_5 est un ordre de conducteur 5, de discriminant $5^2 \times (-8) = -200$ et a la forme

$$O_5 = \mathbb{Z}[5\sqrt{-2}] = \mathbb{Z} + 5\sqrt{-2}\mathbb{Z} = \{a + 5b\sqrt{-2} \mid a, b \in \mathbb{Z}\}$$

Proposition 2.2

Les idéaux d'un ordre \mathcal{O} de discriminant Δ sont de la forme $n \left(a\mathbb{Z} + \left(\frac{b+\sqrt{\Delta}}{2} \right) \mathbb{Z} \right)$, où n est un entier et $\exists c \in \mathbb{Z}$ tel que a , b et c soient des entiers premiers entre eux et $b^2 - 4ac = \Delta$.

Soit D un discriminant fondamental négatif et \mathcal{O}_f un ordre de K_D .

Définition 2.4

Deux idéaux I et J de \mathcal{O}_f sont dits équivalents s'il existe un $\alpha \in K_D^*$ tel que $I = \alpha J$.

Il est donc clair que tous les idéaux de la forme $n \left(a\mathbb{Z} + \left(\frac{b+\sqrt{\Delta}}{2} \right) \mathbb{Z} \right)$ sont équivalents à l'idéal $a\mathbb{Z} + \left(\frac{b+\sqrt{\Delta}}{2} \right) \mathbb{Z}$. L'on peut donc s'intéresser unique aux idéaux de la forme $a\mathbb{Z} + \left(\frac{b+\sqrt{\Delta}}{2} \right) \mathbb{Z}$.

Définition 2.5

On appelle **forme quadratique binaire** (FQB) toute fonction de la forme $f(X, Y) = aX^2 + bXY + cY^2$ où a, b et c sont des entiers. On la note $f = (a, b, c)$. L'entier $\Delta(f) = b^2 - 4ac$ est appelé le **discriminant** de la forme f . Une FQB $f = (a, b, c)$ est dite **définie positive** si $\Delta(f) < 0$ et $a > 0$. Une FQB $f = (a, b, c)$ est dite **primitive** si a, b et c sont premiers entre eux.

Définition 2.6

La représentation matricielle de la FQB $f = (a, b, c)$ est donnée par

$$\mathcal{M}_f = \begin{pmatrix} a & b/2 \\ b/2 & c \end{pmatrix} \text{ et } f(X, Y) = (X, Y) \begin{pmatrix} a & b/2 \\ b/2 & c \end{pmatrix} \begin{pmatrix} X \\ Y \end{pmatrix}$$

et on a $\Delta(f) = b^2 - 4ac = -4\det(\mathcal{M}_f)$.

Définition 2.7

Deux FQB f et g sont dites **équivalentes** s'il existe une $U \in \mathcal{M}(2, \mathbb{Z})^\times$ telle que

$$g(X, Y) = f(U(X, Y)) \text{ ou bien } \mathcal{M}_g = {}^tU\mathcal{M}_fU$$

Exemple 5

Considérons les formes $f = (1, 1, 1)$ et $g = (195751, 37615, 1807)$. Soit la matrice

$$U = \begin{pmatrix} -22 & -49 \\ 229 & 510 \end{pmatrix}, \det(U) = -22 \times 510 + 229 \times 49 = 1$$

On a:

$$\mathcal{M}_f = \begin{pmatrix} 1 & 1/2 \\ 1/2 & 1 \end{pmatrix}, \mathcal{M}_g = \begin{pmatrix} 195751 & 37615/2 \\ 37615/2 & 1807 \end{pmatrix} \text{ et } \Delta(f) = \Delta(g) = -3$$

Et,

$$\begin{aligned} {}^tU\mathcal{M}_gU &= \begin{pmatrix} -22 & 229 \\ -49 & 510 \end{pmatrix} \begin{pmatrix} 195751 & 37615/2 \\ 37615/2 & 1807 \end{pmatrix} \begin{pmatrix} -22 & -49 \\ 229 & 510 \end{pmatrix} \\ &= \begin{pmatrix} -22 & 229 \\ -49 & 510 \end{pmatrix} \begin{pmatrix} 791/2 & 26 \\ 38 & 5/2 \end{pmatrix} \\ &= \begin{pmatrix} 1 & 1/2 \\ 1/2 & 1 \end{pmatrix} \\ &= \mathcal{M}_f \end{aligned}$$

Donc f et g sont deux formes équivalentes de discriminant commun -3 .

Proposition 2.3

Deux formes équivalentes ont le même discriminant, mais la réciproque est fausse.

Proof.

On utilise la représentation matricielle des formes et le fait que $\det(U) = \pm 1$ pour la première partie de la proposition.

Pour la deuxième partie de la proposition, les formes $f = (2, -1, 3)$ et $g = (2, 1, 3)$ ont le même discriminant qui est -23 mais elles ne sont pas équivalentes. (car elles sont réduites et distinctes)

Toute forme non nulle de discriminant 0 a le même discriminant que la forme nulle, mais les deux formes ne sont pas équivalentes. \square

Conséquence 2.1

Si f et g sont deux FQB équivalentes, alors f est définie si et seulement si g l'est aussi.

Définition 2.8

Un entier n est dit représentable par une forme f s'il existe deux entiers x et y tels que $f(x, y) = n$.

Proposition 2.4

Si f et g sont deux FQB équivalentes, alors n est représentable par f si et seulement si n est représentable par g .

Proof.

Puisque $f(X, Y) = g(U(X, Y))$, on a $n = f(x, y) = g(U(x, y))$. □

Proposition 2.5

Si f et g sont deux FQB équivalentes, alors f est primitive si et seulement si g l'est aussi.

Proof.

Par contraposition. utiliser la proposition 2.4 et le fait que $g(1, 0)$, $g(0, 1)$ et $g(1, 1)$ sont représentables par g . □

Notation 2.2

Soit $\Delta < 0$ tel que $\Delta \equiv 0, 1 \pmod{4}$. On note Cl_Δ l'ensemble des classes d'équivalence des FQB primitives et définies positives discriminant Δ .

Définition 2.9

Soit $f = (a, b, c)$ une FQB primitive et définie positive. On dit que f est réduite si

$$|b| \leq a \leq \sqrt{|\Delta|/3}, a \leq c \text{ et si } |b| = a \text{ ou } a = c, \text{ alors } 0 \leq b$$

Théorème 2.1

Toute FQB primitive et définie positive de discriminant Δ est équivalente à une unique forme réduite.

Conséquence 2.2

Le nombre de classes d'équivalence $h_\Delta = |Cl_\Delta|$ est fini.

Proof.

Puisque toute classe d'équivalence contient une unique forme réduite, alors le nombre de classes est égal au nombre de formes réduites. Pour un discriminant Δ donné, a et b sont bornés (par définition de forme réduite), et par conséquent $c = \frac{b^2 - \Delta}{4a}$ est aussi borné. D'où le nombre de formes réduites de discriminant Δ est fini. \square

Exemple 6 (Déterminons h_{-3})

Soit $f = (a, b, c)$ une FQB primitive et définie positive de discriminant $b^2 - 4ac = -3$.

Alors $|b| \leq a \leq \sqrt{|-3|/3}$ et $a \leq c$, donc $|b| \leq a \leq 1$ et $a \leq c$. Mais puisque $a \neq 0$, alors $a = 1$. Donc $b^2 - 4c = -3$, d'où $b \neq 0$ (car si $b = 0$, alors $-4c = -3$ absurde). Ainsi, $b = \pm 1$. Dans ce cas on a $|b| = a$ donc $0 \leq b$ (par définition de forme réduite); d'où $b = 1$ et par conséquent $c = 1$.

L'unique FQB primitive et définie positive de discriminant -3 est $f = (1, 1, 1)$. Ainsi, $h_{-3} = 1$

Exemple 7 (Déterminons h_{-20})

Soit $f = (a, b, c)$ une FQB primitive et définie positive de discriminant $b^2 - 4ac = -20$.

Alors $|b| \leq a \leq \sqrt{|-20|/3}$ et $a \leq c$, donc $|b| \leq a \leq 2$ et $a \leq c$. Mais puisque $a \neq 0$, alors $a = 1$ ou $a = 2$.

Si $a = 1$, alors $b^2 - 4c = -20$ et b est pair. D'où $b = 0$ (car $|b| \leq 1$) et $c = 5$. On a $f = (1, 0, 5)$

Si $a = 2$, alors $b^2 - 8c = -20$ et b est pair. D'où $b = 0$ ou $b = \pm 2$. Mais si $b = 0$, alors $-8c = -20$, absurde. Ainsi, $b = \pm 2$. Dans ce cas on a $|b| = a$ donc $0 \leq b$ (par définition de forme réduite); d'où $b = 2$ et par conséquent $c = 3$. On a $f = (2, 2, 3)$

Ainsi, $h_{-20} = 2$

on utilise `qfbclassno (D)` dans *Pari GP*

Proposition 2.6

Si (a, b, c) est une FQB primitive et définie positive de discriminant Δ , alors $a\mathbb{Z} + \left(\frac{b+\sqrt{\Delta}}{2}\right)\mathbb{Z}$ est un idéal de l'ordre O_f . Réciproquement, si $a\mathbb{Z} + \left(\frac{b+\sqrt{\Delta}}{2}\right)\mathbb{Z}$ est un idéal de l'ordre O_f , alors $(a, b, \frac{b^2-\Delta}{4a})$ est une forme de discriminant Δ .
De plus les formes sont équivalentes si et seulement si les idéaux correspondants le sont aussi.

Exemple 8

Nous avons vu que les FQB primitives et définies positives $f = (1, 1, 1)$ et $g = (195751, 37615, 1807)$ sont équivalentes et la matrice U est donnée par:

$$U = \begin{pmatrix} -22 & -49 \\ 229 & 510 \end{pmatrix}$$

Leur idéaux correspondants sont respectivement

$$I_f = \mathbb{Z} + \left(\frac{1 + \sqrt{-3}}{2} \right) \mathbb{Z} \text{ et } I_g = 195751\mathbb{Z} + \left(\frac{37615 + \sqrt{-3}}{2} \right) \mathbb{Z}$$

On montre que

$$I_f = \left(-22 + 229 \frac{1 - \sqrt{-3}}{2} \right) I_g$$

De façon générale, si deux FQB primitives et définies positives $f = (a, b, c)$ et $g = (a', b', c')$ sont équivalentes et U est donnée par: $U = \begin{pmatrix} u & v \\ w & z \end{pmatrix}$, alors

$$I_f = \alpha I_g \quad \text{où } \alpha = u + w \frac{b - \sqrt{\Delta}}{2a}$$

Partie 3: Sur les Réseaux et courbes elliptiques sur \mathbb{C}

Définition 3.1

On appelle **réseau** tout sous groupe additif L de \mathbb{C} de la forme

$$L = w_1\mathbb{Z} + w_2\mathbb{Z}$$

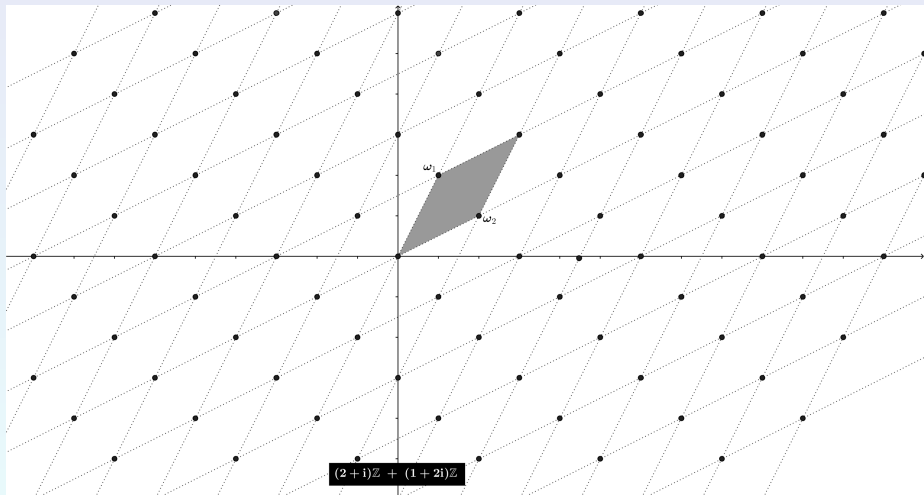
où w_1 et w_2 sont linéairement indépendants sur \mathbb{R}

Exemple 9

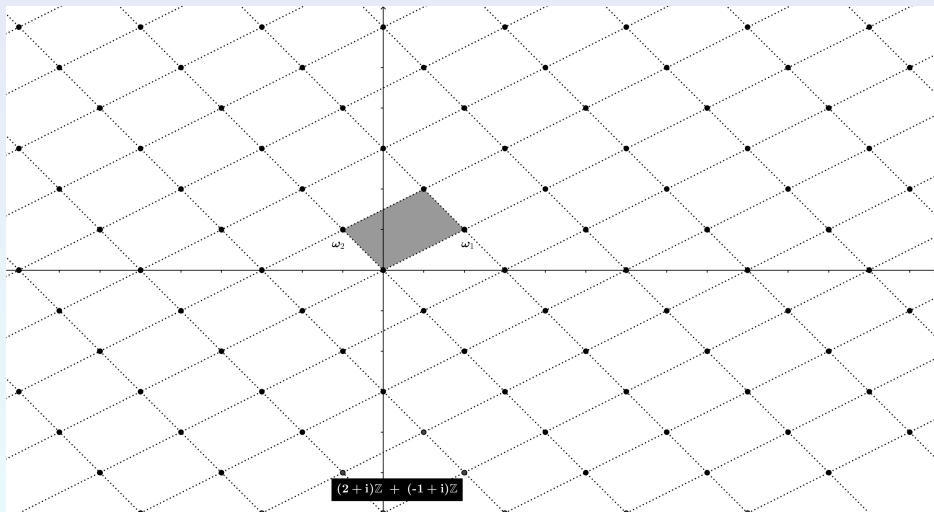
$(2 + i)\mathbb{Z} + (1 + 2i)\mathbb{Z}$, $(2 + i)\mathbb{Z} + (-1 + i)\mathbb{Z}$, $\mathbb{Z} + i\mathbb{Z}$ et $(1 + i)\mathbb{Z} + (1 - i)\mathbb{Z}$ sont des réseaux.

$(1 - i)\mathbb{Z} + (i - 1)\mathbb{Z}$ n'est pas un réseaux car $1 - i$ et $i - 1$ sont linéairement dépendants sur \mathbb{R} : $1 - i = -(i - 1)$.

Représentation graphique du réseau $(2 + i)\mathbb{Z} + (1 + 2i)\mathbb{Z}$



Représentation graphique du réseau $(2 + i)\mathbb{Z} + (-1 + i)\mathbb{Z}$



Définition 3.2

On appelle **parallélogramme fondamental** d'un réseau $L = w_1\mathbb{Z} + w_2\mathbb{Z}$ tout ensemble de la forme

$$P_f = \{\alpha + t_1w_1 + t_2w_2 \mid \alpha \in \mathbb{C}, 0 \leq t_1, t_2 \leq 1\}.$$

Définition 3.3

Deux réseaux L_1 et L_2 sont dits **équivalents** s'il existe un nombre complexe α tel que $L_1 = \alpha L_2$.

Notons que dans le plan complexe, multiplier l'affixe d'un point M par $\alpha = re^{i\theta}$ revient à trouver l'affixe de l'image M' de M par $H \circ R$ où $H = h(O, r)$ et $R = r(O, \theta)$. Donc deux réseaux sont équivalents si et seulement si l'un est l'image de l'autre par la composée d'une rotation de centre O et d'une homothétie de centre O . Cela justifie la proposition suivante.

Proposition 3.1

Deux réseaux L_1 et L_2 sont équivalents si et seulement si leurs parallélogrammes fondamentaux sont semblables.

Proposition 3.2

Tout réseau $L = w_1\mathbb{Z} + w_2\mathbb{Z}$ est équivalent à un réseau L_τ de la forme $L_\tau = \tau\mathbb{Z} + \mathbb{Z}$ avec $\text{Im}(\tau) > 0$

Proof.

Puisque $L = w_1\mathbb{Z} + w_2\mathbb{Z}$ est un réseau, alors w_2 est non nul (sinon w_1 et w_2 seraient linéairement dépendants sur \mathbb{R}). Ainsi, w_2 est inversible et on a :

$$L = w_1\mathbb{Z} + w_2\mathbb{Z} = w_2 \left(\frac{w_1}{w_2}\mathbb{Z} + \mathbb{Z} \right) = w_2 L_\tau \text{ où } \tau = \frac{w_1}{w_2}$$

Puisque w_1 et w_2 sont linéairement indépendants sur \mathbb{R} , alors $\tau = \frac{w_1}{w_2} \notin \mathbb{R}$, donc $\text{Im}(\tau) \neq 0$. Si $\text{Im}(\tau) < 0$ il suffit de remplacer w_1 par $-w_1$. □

Exemple 10

$(1 + i)\mathbb{Z} + (1 - i)\mathbb{Z}$ est équivalent à $\mathbb{Z} + i\mathbb{Z}$

Définition 3.4

Soit L un réseau. La famille des séries d'Eisenstein est la famille $(G_k)_{2 < k}$ des séries définies en L par

$$G_k(L) = \sum_{z \in L \setminus \{0\}} z^{-k}$$

Proposition 3.3

Pour tout réseau L , la série $G_k(L)$ converge absolument pour tout $k > 2$.

Définition 3.5

Soit L un réseau. On appelle **fonction elliptique** par rapport à l toute fonction complexe f qui est méromorphe et L -périodique (c-à-d $\forall w \in L, \forall z \in \mathbb{C}, f(z + w) = f(z)$).

Proposition 3.4

Soit $L = w_1\mathbb{Z} + w_2\mathbb{Z}$ un réseau. Une fonction complexe f est L -périodique si et seulement si elle est w_1 -périodique et w_2 -périodique.

Définition 3.6

Soit L un réseau. La **fonction de Weierstrass** de L est la fonction complexe définie par

$$\wp_L(z) = \frac{1}{z^2} + \sum_{w \in L \setminus \{0\}} \left(\frac{1}{(z-w)^2} - \frac{1}{w^2} \right)$$

Theorem 8

Pour tout réseau L , $\wp_L(z)$ est paire et méromorphe, ses pôles sont exactement les éléments de L et sont tous doubles. La dérivée de \wp_L est donnée par

$$\wp_L'(z) = -2 \sum_{w \in L} \frac{1}{(z-w)^3}$$

\wp_L' est impaire et méromorphe, ses pôles sont exactement les éléments de L et sont tous triples.

Proof.



Theorem 9

Pour tout réseau L , \wp_L et sa dérivée satisfont l'équation différentielle

$$\wp_L'^2 = 4\wp_L^3 - 60G_4(L)\wp_L - 140G_6(L)$$

En posant $y = \wp_L'$, $x = \wp_L$, $g_2(L) = 60G_4(L)$ et $g_3(L) = 140G_6(L)$, on obtient

$$y^2 = 4x^3 - g_2(L)x - g_3(L) \text{ ou bien } (y/2)^2 = x^3 - \frac{g_2(L)}{4}x - \frac{g_3(L)}{4}$$

Et cette courbe a pour discriminant

$$\Delta(L) = -16 \left(4 \left(-\frac{g_2(L)}{4} \right)^3 + 27 \left(-\frac{g_3(L)}{4} \right)^2 \right) = g_2(L)^3 - 27g_3(L)^2$$

Proposition 3.5

Pour tout réseau L , on a :

$$\Delta(L) = g_2(L)^3 - 27g_3(L)^2 \neq 0$$

Conséquence 3.1

Tout réseau L induit une courbe elliptique sur \mathbb{C} notée E_L et dont une équation est donnée par

$$E_L : y^2 = x^3 - \frac{g_2(L)}{4}x - \frac{g_3(L)}{4}$$

Theorem 10

Pour tout réseau L , l'application

$$\begin{aligned} \Phi : \quad \mathbb{C}/L &\longrightarrow E_L \\ z \neq 0 &\longmapsto (\wp_L(z), \wp_L'(z)) \\ 0 &\longmapsto \mathcal{O} \end{aligned}$$

est un isomorphisme de groupes additifs.

Définition 3.7

On appelle ***j*-fonction** la fonction notée j qui à un réseau L associe

$$j(L) = 1728 \frac{g_2(L)^3}{g_2(L)^3 - 27g_3(L)^2}$$

C'est en fait le j -invariant de la courbe elliptique E_L .

Proposition 3.6

Deux réseaux L_1 et L_2 sont équivalents si et seulement si $j(L_1) = j(L_2)$

Proof.



Conséquence 3.2

Deux réseaux L_1 et L_2 sont équivalents si et seulement si leurs courbes associées E_{L_1} et E_{L_2} sont isomorphes.

Ainsi, pour tout réseau L , $\exists \tau \in \mathbb{H} = \{x + iy \in \mathbb{C} \mid y > 0\}$ tel $j(L) = j(L_\tau) = j(\tau)$.

Proposition 3.7

Soient $\tau, \tau' \in \mathbb{H}$, alors $j(\tau) = j(\tau')$ si et seulement si il existe $\begin{pmatrix} a & b \\ c & d \end{pmatrix} \in SL_2(\mathbb{Z})$ tel que $\tau' = \frac{a\tau+b}{c\tau+d}$.

Theorem 11

La j -fonction définit une bijection de $\mathbb{H}/SL_2(\mathbb{Z})$ vers \mathbb{C}

Theorem 12

Pour toute courbe E/\mathbb{C} , il existe un réseau L tel que E/\mathbb{C} soit isomorphe à E_L .

Proof.

Puisque $j(E) \in \mathbb{C}$, alors il existe $\tau \in \mathbb{H}$ tel que $j(E) = j(\tau) = j(L_\tau) = j(E_{L_\tau})$. Donc E et E_{L_τ} sont isomorphes. \square

Exemple 11

Pour tout nombre complexe τ , Pari GP calcule $j(\tau)$ en utilisant la commande $\text{ellj}(\tau)$.
la commande $\text{ellfromj}(j)$ permet de déterminer les coefficients de l'équation de Weierstrass d'une courbe sur \mathbb{C} de j -invariant j .

τ	L_τ	$j(\tau) = j(L_\tau)$	équation de Weierstrass de E_L
i	$\mathbb{Z}[i]$	1728	$y^2 = x^3 + x$
$e^{2\pi i/3}$	$\mathbb{Z}\left[\frac{-1+\sqrt{3}i}{2}\right]$	0	$y^2 = x^3 + 1$
$\sqrt{3}i$	$\mathbb{Z}[\sqrt{3}i]$	54000	$y^2 = x^3 - 8468064000x + 295095094272000$

Theorem 13

Soit L un réseau et α un nombre complexe. Alors les deux assertions suivantes sont équivalentes :

- (i) $\alpha L \subset L$
- (ii) Il existe une unique isogénie $\phi = \phi_\alpha \in \text{End}(E_L)$ telle que le diagramme suivant commute.

$$\begin{array}{ccc} \mathbb{C}/L & \xrightarrow{\Phi} & E_L/\mathbb{C} \\ | & & | \\ \alpha & & \phi_\alpha \\ \downarrow & & \downarrow \\ \mathbb{C}/L & \xrightarrow{\Phi} & E_L/\mathbb{C} \end{array}$$

De plus, pour tout $\phi \in \text{End}(E_L) \simeq \{\alpha \in \mathbb{C} \mid \alpha L \subset L\}$, $\exists \alpha = \alpha_\phi$ vérifiant (i) et (ii). Les applications $\alpha \mapsto \phi_\alpha$ et $\phi \mapsto \alpha_\phi$ sont des isomorphismes d'anneaux entre $\text{End}(E)$ et $\text{End}(E_L) \simeq \{\alpha \in \mathbb{C} \mid \alpha L \subset L\}$; et on a $\deg(\phi_\alpha) = [L : \alpha L]$

A partir de ce théorème, on a:

$$\text{End}(E_L) \simeq \{\alpha \in \mathbb{C} \mid \alpha L \subset L\} \simeq \text{End}(\mathbb{C}/L)$$

Corollaire 3.1

Pour toute courbe elliptique E/\mathbb{C} , $\text{End}(E)$ est un anneau commutative. Dès lors $\text{End}(E)$ est soit \mathbb{Z} soit un ordre dans un corps quadratique imaginaire.

Caractérisation des courbes elliptiques sur \mathbb{C} telles que $\text{End}(E) = \mathbb{Z}$

Proposition 3.8

Soit $E/\mathbb{C} = E_{L_\tau}$ une courbe elliptique. les propositions suivantes sont équivalentes:

- (i) $\text{End}(E) = \mathbb{Z}$
- (ii) $\mathbb{Q}(\tau)$ n'est pas une extension quadratique de \mathbb{Q}
- (iii) $\text{Re}(\tau) \notin \mathbb{Q}$ ou $|\tau|^2 \notin \mathbb{Q}$.

Caractérisation des courbes elliptiques sur \mathbb{C} telles que $End(E) = \mathcal{O}_f$

Dans le cas où $End(E)$ est un ordre \mathcal{O}_f dans un corps quadratique imaginaire, quels sont les réseaux L tels que $End(E_L) \simeq \mathcal{O}_f$?

On a

$$End(E_{\mathcal{O}_f}) \simeq \{\alpha \in \mathbb{C} \mid \alpha\mathcal{O}_f \subset \mathcal{O}_f\} = \mathcal{O}_f$$

et ainsi pour tout réseau équivalent à \mathcal{O}_f car deux réseaux équivalents définissent la même courbe elliptique à isomorphisme près.

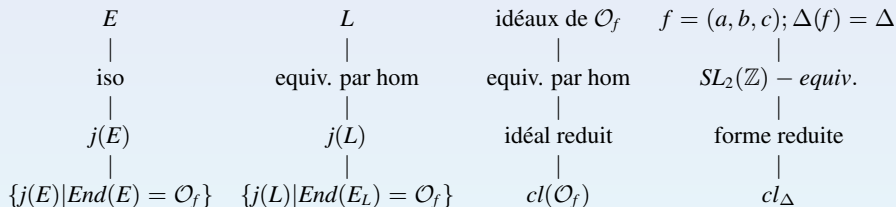
Le théorème suivant nous dit que ce ne sont pas les seuls.

Theorem 14 (sutherland, lec 17, page 7)

Soit \mathcal{O}_f un ordre dans un corps quadratique imaginaire. Il y a une bijection entre les éléments du groupe des classes d'idéaux de \mathcal{O}_f d'une part, et l'ensemble des classes d'équivalence des réseaux L vérifiant $End(E_L) \simeq \mathcal{O}_f$ d'autre part.

Cela signifie qu'il y a h_Δ (Δ est le discriminant de \mathcal{O}_f) courbes elliptiques sur \mathbb{C} vérifiant $End(E) = \mathcal{O}_f$.

De façon récapitulative, pour tout ordre \mathcal{O}_f de discriminant Δ dans corps quadratique imaginaire, nous avons :



Les courbes elliptiques de ce diagramme sont toute les courbes elliptiques sur \mathbb{C} à multiplication complexe par \mathcal{O}_f .

Partie 4: Graphes d'isogénies des courbes elliptiques ordinaires

Proposition 4.1

Soit E une courbe elliptique sur un corps fini \mathbb{F}_q et $\pi_E : E \rightarrow E$ l'endomorphisme de Frobenius. On a les résultats suivants:

- π_E est solution de l'équation $x^2 - tx + q = 0$ où $t = \pi_E + \widehat{\pi}_E = \text{tr}(\pi_E)$ et on pose $D_{\pi_E} = t^2 - 4q$ le discriminant de cette équation.
- (Théorème de Hasse) $|E(\mathbb{F}_q)| = q + 1 - t$ et $|t| \leq 2\sqrt{q}$
- (Théorème de Tate) E et E'/\mathbb{F}_q sont isogènes si et seulement si $|E(\mathbb{F}_q)| = |E'(\mathbb{F}_q)|$

Plaçons nous dans le cas des courbes ordinaires.

A partir du théorème de Hasse, on a $D_{\pi_E} = t^2 - 4q \leq 0$. $\pi_E \notin \mathbb{Z}$ (sinon $\pi_E = \widehat{\pi}_E$, $\text{deg}(\pi_E) = \pi_E \widehat{\pi}_E = \pi_E^2 = q$, donc $q = p^{2k}$ et $\pi_E = \pm p^k$, d'où $t = \pm 2p^k \equiv 0 \pmod{p}$, donc E est super-singulière; absurde), donc $\mathbb{Z}[\pi_E]$ est un ordre dans le corps quadratique imaginaire $\mathbb{Q}(\sqrt{\Delta_{\pi_E}})$ où $D_{\pi_E} = f_{\pi_E}^2 \Delta_{\pi_E}$, Δ_{π_E} est un discriminant fondamental et f_{π_E} est le conducteur de $\mathbb{Z}[\pi_E]$. Mais puisque $\mathbb{Z} \subset \text{End}(E)$ et $\pi_E \in \text{End}(E)$, alors $\mathbb{Z}[\pi_E] \subset \text{End}(E) \subset \mathbb{Q}(\sqrt{\Delta_{\pi_E}})$. Donc l'ordre f de $\text{End}(E)$ est un diviseur de f_{π_E} .

Nous avons vu que pour tout ordre \mathcal{O} de discriminant Δ d'un corps quadratique imaginaire, il y a exactement h_Δ courbes elliptiques $(E_i)_{i=1, \dots, h_\Delta}$ sur \mathbb{C} admettant \mathcal{O} comme anneau d'endomorphisme.

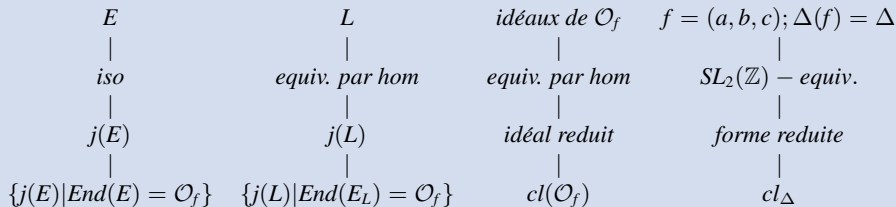
Définition 4.1

On appelle *polynôme de classes d'Hilbert* le polynôme (à coefficients entiers)

$$H_\Delta(X) = \prod_{i=1}^{h_\Delta} (X - j(E_i))$$

Comment le calcule t-on ?

Rappels 4.1



On a donc une famille $(E_i)_{i=1, \dots, h_\Delta}$ de courbes elliptiques d'un coté, et une famille $(f_i = (a_i, b_i, c_i))_{i=1, \dots, h_\Delta}$ de formes quadratique binaires primitives réduites de discriminant Δ . Chaque courbe E_i correspond à une unique forme f_i et cette correspondance se traduit par le fait que

$$j(E_i) = j\left(\frac{b_i + \sqrt{\Delta}}{2a_i}\right) = j(\tau_i) = j(L_{\tau_i}) \text{ avec } \tau_i = \frac{b_i + \sqrt{\Delta}}{2a_i};$$

$$\text{On a donc: } H_\Delta(X) = \prod_{i=1}^{h_\Delta} (X - j(\tau_i))$$

En utilisant la définition des formes réduites primitives, on détermine toutes les formes primitives de discriminant Δ $f_i = (a_i, b_i, c_i)$. On calcule les τ_i et à l'aide la commande $ellj(\tau_i)$ dans pari gp, on détermine les $j(\tau_i)$. On développe $H_\Delta(X) = \prod_{i=1}^{h_\Delta} (X - j(\tau_i))$ pour effectivement avoir un polynôme à coefficients entiers.

Exemple 12

Nous allons déterminer $H_{-7}(X)$, $H_{-20}(X)$ et $H_{-59}(X)$.

on utilise polclass (D) dans Pari GP

$$\underline{\Delta = -7.}$$

Comme $h_{-7} = 1$, on a une seule forme quadratique binaire définie positive primitive et réduite de discriminant -7 qui est $f = (1, 1, 2)$. On a $\tau = \frac{1+\sqrt{-7}}{2}$ et $j(\tau) = -3375$
Donc

$$H_{-7}(X) = X + 3375$$

$$\underline{\Delta = -20.}$$

Comme $h_{-20} = 2$, on a deux formes quadratiques binaires définies positives primitives et réduites de discriminant -20 qui sont $f_1 = (1, 0, 5)$ et $f_2 = (2, 2, 3)$. On a $\tau_1 = \sqrt{-5}$ et $\tau_2 = \frac{1+\sqrt{-5}}{2}$. Donc

$$H_{-20}(X) = X^2 - 1264000X + 681472000$$

Exemple 13

$$\Delta = -59.$$

Comme $h_{-59} = 3$, on a trois formes quadratiques binaires définies positives primitives et réduites de discriminant -20 qui sont $f_1 = (3, 1, 5)$, $f_2 = (3, -1, 5)$ et $f_3 = (1, 1, 15)$. On a $\tau_1 = \frac{1+\sqrt{-59}}{6}$, $\tau_2 = \frac{-1+\sqrt{-59}}{6}$ et $\tau_3 = \frac{1+\sqrt{-59}}{2}$. Donc

$$H_{-59}(X) = X^3 + 30197678080X^2 - 140811576541184X + 374643194001883136$$

Constatons que $h_{-59} = 3$ mais le terme constant de $H_{-59}(X)$ s'écrit avec 18 chiffres décimaux. En effet, les coefficients de $H_{\Delta}(X)$ explosent au fur et à mesure que h_{Δ} et D deviennent grands, ce qui rend le calcul de $H_{\Delta}(X)$ impossible pour des discriminants très grands.

Proposition 4.2

Soit \mathcal{O} un ordre de discriminant Δ d'un corps quadratique imaginaire et p un nombre premier ne divisant pas Δ . Alors il y a équivalence entre:

- $\left(\frac{\Delta}{p}\right) = 1$ et $H_{\Delta}(X)$ (réduit modulo p) se décompose entièrement dans $\mathbb{F}_p[X]$
- il existe deux entiers t et v tels que $4p = t^2 - v^2\Delta$ et $t \not\equiv 0 \pmod{p}$

Exemple 14

Considérons le discriminant fondamental -59 et soit \mathcal{O} l'ordre maximal du corps quadratique imaginaire $\mathbb{Q}(\sqrt{-59})$. Le discriminant de \mathcal{O} est donc $\Delta = -59$ et on a:

$$H_{-59}(X) = X^3 + 30197678080X^2 - 140811576541184X + 374643194001883136$$

qui est bel et bien un polynôme de degré $h_{-59} = 3$. Comme on souhaite avoir $4p = t^2 - v^2\Delta$, alors $-v^2\Delta \leq 4p$ et p est distinct de 59 (puisque p ne doit pas diviser Δ).

Dans le tableau suivant, nous étudions le cas 6 nombres premiers: 17, 43, 61, 71, 149, 197.

Exemple 15

p	$(t; v)$	$\left(\frac{-59}{p}\right)$	$H_{-59}(X) \pmod p$	$\text{fact. ds. } \mathbb{F}_p[X]$	racines
17	(3; 1)	1	$X^3 + 12X^2 + 12X + 5$	$(X + 4)(X + 10)(X + 15)$	2; 7; 13
43	--	-1	$X^3 + 11X^2 + 36X + 1$	$(X + 35)(X^2 + 19X + 16)$	8
61	--	-1	$X^3 + 58X^2 + 52X + 53$	$(X + 20)(X^2 + 38X + 24)$	41
71	(15; 1)	1	$X^3 + 41X^2 + 62X + 11$	$(X + 4)(X + 17)(X + 20)$	51; 54; 67
149	--	-1	$X^3 + 60X^2 + 105X + 117$	$(X + 81)(X^2 + 128X + 18)$	68
197	(27; 1)	1	$X^3 + 195X^2 + 160X + 139$	$(X + 2)(X + 67)(X + 126)$	71; 130; 195

Proposition 4.3 (rappel)

Tout élément j de \mathbb{F}_q est le j -invariant d'une courbe elliptique E définie sur \mathbb{F}_q . De plus cette courbe elliptique a une équation de la forme:

- $E : y^2 = x^3 + c$ ($c \in \mathbb{F}_q^*$) si $j = 0$;
- $E : y^2 = x^3 + cx$ ($c \in \mathbb{F}_q^*$) si $j = 1728$;
- $E : y^2 = x^3 + 3kc^2x + 2kc^3$ ($c \in \mathbb{F}_q^*$ et $k = \frac{j}{1728-j}$) si $j \neq 0, 1728$.

Proposition 4.4

Soit E/k une courbe elliptique ayant pour anneau d'endomorphisme un ordre \mathcal{O} de conducteur f d'un corps quadratique imaginaire K_D , et E'/\mathbb{F}_q une courbe elliptique telle qu'il existe une isogénie séparable $\phi : E \rightarrow E'$ de degré premier l ($l \neq \text{caract}(k)$).

Alors l'anneau d'endomorphisme \mathcal{O}' de E' est un ordre de conducteur f' de K_D tel que l'une des conditions suivantes soit satisfaite:

$$(i) \mathcal{O} = \mathcal{O}' \quad (f = f') \quad (ii) [\mathcal{O}' : \mathcal{O}] = l \quad (f = lf') \quad (iii) [\mathcal{O} : \mathcal{O}'] = l \quad (f' = fl)$$

Définition 4.2

Avec les notations de la proposition précédente, on dit que

- ϕ est une isogénie horizontale si $\mathcal{O} = \mathcal{O}'$
- ϕ est une isogénie ascendante si $[\mathcal{O}' : \mathcal{O}] = l$
- ϕ est une isogénie descendante si $[\mathcal{O} : \mathcal{O}'] = l$

Les deux dernières sont communément appelées isogénies verticales.

Proposition 4.5

Soit E/k une courbe elliptique ayant pour anneau d'endomorphisme un ordre \mathcal{O} de conducteur f d'un corps quadratique imaginaire K_D , et soit $l \neq \text{caract}(k)$ un nombre premier.

Si l divise f , alors il n'existe pas d'isogénie horizontale de degré l et de domaine E . Sinon, le nombre d'isogénies horizontales de degré l et de domaine E est $1 + \left(\frac{\Delta}{l}\right) \in \{0, 1, 2\}$ où $\Delta = \text{disc}(\mathcal{O})$.

Proposition 4.6

Soit E/\mathbb{F}_p une courbe elliptique ayant pour anneau d'endomorphisme un ordre \mathcal{O} , sous ordre d'indice l ($l \neq \text{caract}(k)$) de \mathcal{O}' avec $\text{disc}(\mathcal{O}') < -4$.

Alors, à isomorphisme près, il existe une unique isogénie ascendante de E vers une courbe E'/\mathbb{F}_p telle que $\text{End}(E') = \mathcal{O}'$.

Définition 4.3

Graphe d'Isogénies

Un graphe d'isogénies de degré l est un graphe constitué de nœuds, qui représentent les j -invariants des courbes, et des segments liant les nœuds deux à deux, qui symbolisent l'existence d'une isogénie de degré l entre les deux nœuds qu'ils relient.

Graphe d'isogénies: terre à terre

Dans un graphe d'isogénies de degré l , les nœuds sont classés par niveaux du haut vers le bas, en commençant par 0. Dans un niveau i , toutes les courbes ont le même anneau d'endomorphisme \mathcal{O}_i de conducteur f_i et de discriminant Δ_i ; et il y a exactement h_{Δ_i} nœuds. Ainsi, pour savoir à combien de nœuds du niveau $i + 1$ un nœud du niveau i sera relié, on fait juste

$$\frac{h_{\Delta_{i+1}}}{h_{\Delta_i}}$$

De plus, un nœud du niveau $i + 1$ n'est relié qu'à un seul nœud du niveau i (d'après la proposition 4.6).

Lorsqu'on passe du niveau i au niveau $i + 1$, le conducteur f_i du niveau i est multiplié par l et on a $f_{i+1} = lf_i$ (d'après la proposition 4.4).

Au niveau 0, c-à-d au sommet, l ne divise pas f_0 , donc on la possibilité d'avoir des isogénies horizontales. Si $0 < i$, alors il est impossible d'avoir des isogénies horizontales au niveau i car l divise $f_i = lf_{i-1}$ (par application de la proposition 4.5).

Proposition 4.7

Si $\Delta_i < -4$, alors $\frac{h_{\Delta_{i+1}}}{h_{\Delta_i}} = l - \left(\frac{\Delta_i}{l}\right)$

Conséquence 4.1

Dans un graphe d'isogénies de degré l , tout nœuds est relié à $l + 1$ autres nœuds (pas forcément distincts)

Proof.

Au niveau 0, le nombre de liaisons d'un nœud est égal nombre de liaisons horizontales $1 + \left(\frac{\Delta_0}{l}\right)$ plus le nombre de liaisons descendantes $\frac{h_{\Delta_1}}{h_{\Delta_0}} = l - \left(\frac{\Delta_0}{l}\right)$. On a donc en tout

$$1 + \left(\frac{\Delta_0}{l}\right) + l - \left(\frac{\Delta_0}{l}\right) = l + 1$$

Au niveau $i > 0$, il y 0 liaison horizontale, 1 liaison verticale et

$\frac{h_{\Delta_{i+1}}}{h_{\Delta_i}} = l - \left(\frac{\Delta_i}{l}\right) = l - 0 = l$ car l divise Δ_i pour $i > 0$. On a donc en tout $l + 1$ liaisons. □

Après combien de niveaux s'arrête t-on?

Nous avons vu que pour que $H_{\Delta}(X)$ se décompose entièrement sur $\mathbb{F}_p[X]$, il suffit qu'il existe deux entiers t et v tels que $4p = t^2 - v^2\Delta$ et $t \not\equiv 0 \pmod{p}$ (d'après la proposition 4.2). Ainsi, pour s'assurer qu'il existe effectivement h_{Δ_i} courbes elliptiques sur \mathbb{F}_p d'anneau d'endomorphisme \mathcal{O}_i , il faut et il suffit que $H_{\Delta_i}(X)$ se décompose entièrement sur $\mathbb{F}_p[X]$, c-à-d qu'il existe deux entiers t_i et v_i tels que $4p = t_i^2 - v_i^2\Delta_i$ et $t_i \not\equiv 0 \pmod{p}$.

Toutes les courbes situées sur un graphe sont isogènes deux à deux, et ont donc le même nombre de points (d'après le théorème de Tate); leurs morphismes de Frobenius ont donc la même trace $t = t_i, \forall i$.

Nous avons vu au début de l'exposé que

$$4p = t^2 - D_{\pi} = t^2 - f_{\pi}^2 \Delta_{\pi}$$

Donc tous les Δ_i sont des diviseurs de D_{π} (ou bien $f_i | f_{\pi}$).

Si $d = v_l(f_{\pi})$, alors $f_{\pi} = l^d v$ avec $l \wedge v = 1$; et $D_{\pi} = l^{2d} v^2 \Delta_{\pi}$.

Alors le graphe s'arrête au niveau d et

$$\forall i = 1, \dots, d; \quad \Delta_i = l^{2i} \Delta_0 = l^{2i} v^2 \Delta_{\pi} \quad \text{et} \quad f_i = l^i f_0 = l^i v$$

Exemple 16

Avec un petit programme on peut déterminer plusieurs listes $(p, t, v, \Delta_\pi = -59)$ vérifiant l'équation de la norme: $4p = t^2 - f_\pi^2 \Delta_\pi$. Parmi celles-ci, nous retenons les suivantes:

- $p = 1201, t = 5, f_\pi = 9 = 3^2, l = 3$ et $d = 2$
- $p = 9221, t = 3, f_\pi = 25 = 5^2; l = 5$ et $d = 2$
- $p = 35597, t = 27, f_\pi = 49 = 7^2; l = 7$ et $d = 2$
- $p = 746749, t = 11, f_\pi = 225 = 3^2 \cdot 5^2; l_1 = 3, l_2 = 5$ et $d_1 = d_2 = 2$

Pour les trois premiers cas, on a un seul diviseur du conducteur f_π et on a $v_l(f_\pi) = 2$; donc ce sont des graphes d'auteur 2. Et on a $\mathcal{O}_0 = \mathcal{O}_K$ car l est le seul diviseur de f_π . Au sommet, on aura donc $h(-59) = 3$ nœuds.

pour le dernier cas, f_π a deux diviseurs premiers distincts $l_1 = 3, l_2 = 5$. on peut donc construire deux graphes. L'un est constitué des isogénies de degré 3, a pour de hauteur $v_3(f_\pi) = 2$, avec $\mathcal{O}_0 \neq \mathcal{O}_K$ (car $\Delta_0 = 5^4(-59) \neq -59$) et a $h(5^4(-59)) = 60$ nœuds au sommet. L'autre est constitué des isogénies de degré 5, a pour de hauteur $v_5(f_\pi) = 2$, avec $\mathcal{O}_0 \neq \mathcal{O}_K$ (car $\Delta_0 = 3^4(-59) \neq -59$) et a $h(3^4(-59)) = 18$ nœuds au sommet.

$$p = 1201, t = 5, f_\pi = 9 = 3^2, l = 3 \text{ et } d = 2$$

$$K = \mathbb{Q}(\sqrt{-59})$$

$$\mathcal{O}_0 = \mathcal{O}_K$$

$$f_0 = 1$$

$$\Delta_0 = -59$$

$$h_{\Delta_0} = 3$$



$$\mathcal{O}_1$$

$$f_1 = 3$$

$$\Delta_1 = 3^2(-59)$$

$$h_{\Delta_1} = 6$$

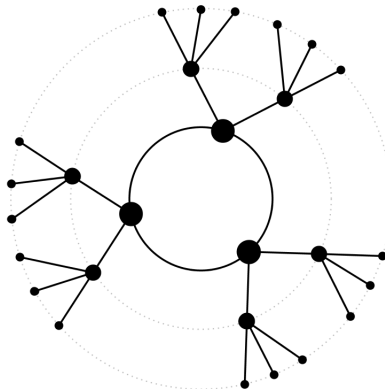


$$\mathcal{O}_2 = \mathbb{Z}[\pi]$$

$$f_2 = f_\pi = 3^2$$

$$\Delta_2 = 3^4(-59) = D_\pi$$

$$h_{\Delta_2} = 18$$



Graphe d'isogénies de degré 3 sur \mathbb{F}_{1201}

$$4 \times 1201 = 5^2 \cdot 2^4 \cdot (-59)$$

$$p = 9221, t = 3, f_\pi = 25 = 5^2; l = 5 \text{ et } d = 2$$

$$K = \mathbb{Q}(\sqrt{-59})$$

$$\mathcal{O}_0 = \mathcal{O}_K$$

$$f_0 = 1$$

$$\Delta_0 = -59$$

$$h_{\Delta_0} = 3$$



$$\mathcal{O}_1$$

$$f_1 = 5$$

$$\Delta_1 = 5^2(-59)$$

$$h_{\Delta_1} = 12$$

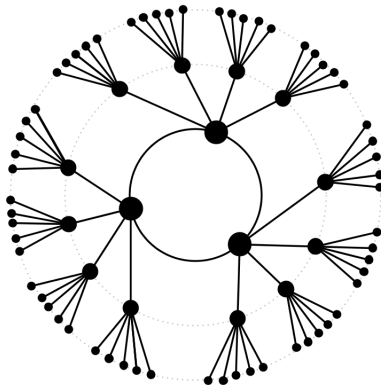


$$\mathcal{O}_2 = \mathbb{Z}[\pi]$$

$$f_2 = f_\pi = 5^2$$

$$\Delta_2 = 5^4(-59) = D_\pi$$

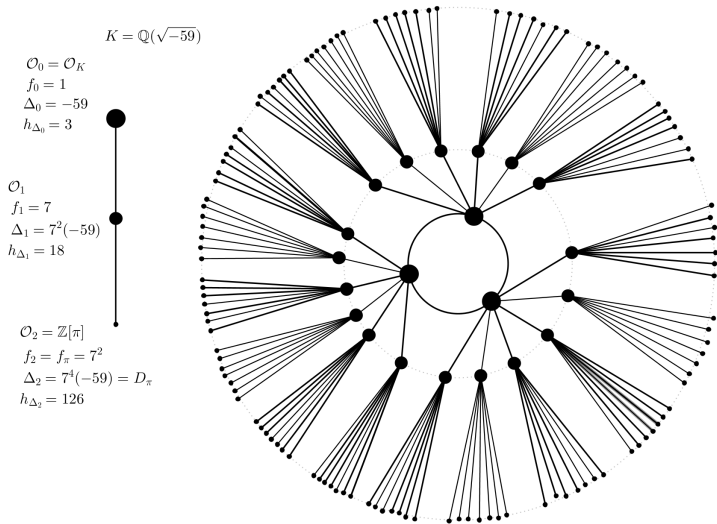
$$h_{\Delta_2} = 60$$



Grphe d'isogénies de degré 5 sur \mathbb{F}_{9221}

$$4 \times 9221 = 3^2 \cdot 5^4 \cdot (-59)$$

$p = 35597, t = 27, f_\pi = 49 = 7^2; l = 7$ et $d = 2$



Graphe d'isogénies de degré 7 sur \mathbb{F}_{35597}
 $4 \times 35597 = 27^2 \cdot 7^4(-59)$

$p = 746749, t = 11, f_\pi = 225 = 3^2 \cdot 5^2; l_1 = 3, l_2 = 5$ et $d_1 = d_2 = 2$

$$K = \mathbb{Q}(\sqrt{-59})$$

$$\mathcal{O}_0 \neq \mathcal{O}_K$$

$$f_0 = 5^2$$

$$\Delta_0 = 5^4(-59)$$

$$h_{\Delta_0} = 60$$



$$\mathcal{O}_1$$

$$f_1 = 3 \cdot 5^2$$

$$\Delta_1 = 3^2 \cdot 5^4(-59)$$

$$h_{\Delta_1} = 120$$



$$\mathcal{O}_2 = \mathbb{Z}[\pi]$$

$$f_2 = f_\pi = 3^2 \cdot 5^2$$

$$\Delta_2 = 3^2 \cdot 5^4(-59) = D_\pi$$

$$h_{\Delta_2} = 360$$



Graphe d'isogénies de degré 3 sur \mathbb{F}_{746749}

$$4 \times 746749 = 11^2 - 3^4 \cdot 5^4(-59)$$

$$K = \mathbb{Q}(\sqrt{-59})$$

$$\mathcal{O}_0 \neq \mathcal{O}_K$$

$$f_0 = 3^2$$

$$\Delta_0 = 3^4(-59)$$

$$h_{\Delta_0} = 18$$



$$\mathcal{O}_1$$

$$f_1 = 5 \cdot 3^2$$

$$\Delta_1 = 5^2 \cdot 3^4(-59)$$

$$h_{\Delta_1} = 72$$



$$\mathcal{O}_2 = \mathbb{Z}[\pi]$$

$$f_2 = f_\pi = 3^2 \cdot 5^2$$

$$\Delta_2 = 3^2 \cdot 5^4(-59) = D_\pi$$

$$h_{\Delta_2} = 360$$



Graphe d'isogénies de degré 5 sur \mathbb{F}_{746749}

$$4 \times 746749 = 11^2 - 3^4 \cdot 5^4(-59)$$

Partie 5: Cycles et étoiles d'isogénies

Définition 5.1

Un cycle d'isogénies est un graphe d'isogénies de hauteur 0. En d'autres termes, c'est un graphe d'isogénies qui ne comporte que des isogénies horizontales.

Soit \mathcal{O} un ordre de discriminant Δ , p un nombre premier, et t un entier tel que $4p = t^2 - \Delta$. Alors $H_\Delta(X)$ se décompose entièrement sur $\mathbb{F}_p[X]$. Soient $j_1, j_2, \dots, j_{h_\Delta}$ les racines de $H_\Delta(X)$ dans \mathbb{F}_p et $E_1, E_2, \dots, E_{h_\Delta}$ les courbes elliptiques correspondantes. Soit l un nombre premier distinct de p ; alors d'après la proposition 4.2 de l'exposé précédent, un cycle d'isogénies de degré l existe entre les E_i si et seulement si $\left(\frac{\Delta}{l}\right) = 1$.

Ayant déjà les j -invariants $j_1, j_2, \dots, j_{h_\Delta}$, il faut déterminer les arrêtes du cycle. Pour cela, on utilise le polynôme modulaire d'ordre l , $\Phi_l(X, Y)$, dont $\Phi_l(j_a, j_b) = 0$ si et seulement si j_a et j_b sont les j -invariants de deux courbes l -isogènes. Lorsque $\left(\frac{\Delta}{l}\right) = 1$, $\Phi_l(X, j_i)$ admet exactement deux racines dans \mathbb{F}_p , ces racines sont les voisins de j_i dans le cycle.

Exemple 17

Pour $\Delta = -251$, $t = 9$ et $p = 83$, l'équation de la norme est vérifiée:

$$4 \times 83 = 332 = 81 + 251 = 9^2 - (-251).$$

On a $h_{-251} = 7$ et dans \mathbb{F}_{83} ,

$$\begin{aligned} H_{-251}(X) &= X^7 + 57X^6 + 44X^5 + 73X^4 + 19X^3 + 57X^2 + 40X + 60 \\ &= (X - 15)(X - 23)(X - 29)(X - 34)(X - 48)(X - 55)(X - 71) \end{aligned}$$

Donc $j_1 = 15$; $j_2 = 23$; $j_3 = 29$; $j_4 = 34$; $j_5 = 48$; $j_6 = 55$; $j_7 = 71$

Nous avons $\left(\frac{\Delta}{2}\right) = \left(\frac{-251}{2}\right) = -1$, donc il n'existe pas de cycle d'isogénies de degré 2.

Nous avons $\left(\frac{\Delta}{3}\right) = \left(\frac{-251}{3}\right) = 1$ et $\left(\frac{\Delta}{5}\right) = \left(\frac{-251}{5}\right) = 1$, donc il existe un cycle d'isogénies de degré 3 et un cycle d'isogénies de degré 5.

Cas $l = 3$:

Dans \mathbb{F}_{83} , le polynôme modulaire d'ordre 3 est donné par (gp: [polmodular\(\)](#)) :

$$\begin{aligned} \Phi_3(X, Y) &= x^4 + y^4 + 82x^3y^3 + 74(x^3y^2 + y^2x^3) + 80(x^3y + xy^3) + 48(x^3 + y^3) \\ &\quad + 81x^2y^2 + 40(x^2y + xy^2) + 21(x^2 + y^2) + 28xy + 29(x + y) \end{aligned}$$

Exemple 18

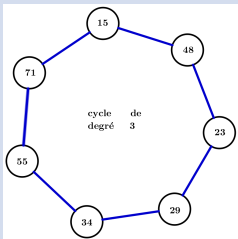
$$\begin{aligned}\Phi_3(X, j_1) &= \Phi_3(X, 15) = X^4 + 81X^3 + 8X^2 + 71X + 76 \\ &= (X - 48)(X - 71)(X^2 + 34X + 65)\end{aligned}$$

Donc les voisins de $j_1 = 15$ dans le cycle sont $j_5 = 48$ et $j_7 = 71$.

$$\begin{aligned}\Phi_3(X, j_5) &= \Phi_3(X, 48) = X^4 + 48X^3 + 80X^2 + 50X + 29 \\ &= (X - 15)(X - 23)(X^2 + 3X + 15)\end{aligned}$$

Donc les voisins de $j_5 = 48$ dans le cycle sont $j_1 = 15$ et $j_2 = 23$.

Avec même processus, on obtient que les voisins de $j_2 = 23$ sont $j_5 = 48$ et $j_3 = 29$, ceux de $j_3 = 29$ sont $j_2 = 23$ et $j_4 = 34$, ceux de $j_4 = 34$ sont $j_3 = 29$ et $j_6 = 55$, et en fin, ceux de $j_6 = 55$ sont $j_4 = 34$ et $j_7 = 71$. On aboutit au cycle suivant:



Exemple 19

Cas $l = 5$:

Dans \mathbb{F}_{83} , le polynôme modulaire d'ordre 5 est donné par :

$$\begin{aligned}\Phi_5(X, Y) = & x^6 + y^6 + 82x^5y^5 + 68(x^5y^4 + x^4y^5) + 33(x^5y^3 + x^3y^5) \\ & + 75(x^5y^2 + x^2y^5) + 37(x^5y + xy^5) + 21(x^5 + y^5) + 17x^4y^4 \\ & + 17(x^4y^3 + x^3y^4) + 6(x^4y^2 + x^2y^4) + 66(x^4y + xy^4) + 34(x^4 + y^4) \\ & + 14x^3y^3 + 48(x^3y^2 + x^2y^3) + 72(x^3y + xy^3) + 6(x^3 + y^3) \\ & + 14x^2y^2 + 11(x^2y + xy^2) + 75(x^2 + y^2) + 32xy + 25(x + y) + 79\end{aligned}$$

$$\begin{aligned}\Phi_5(X, j_1) = \Phi_5(X, 15) &= X^6 + 77X^5 + 33X^4 + 53X^3 + 43X^2 + 17X + 15 \\ &= (X - 29)(X - 34)(X^4 + 57X^3 + 65X^2 + 70X + 40)\end{aligned}$$

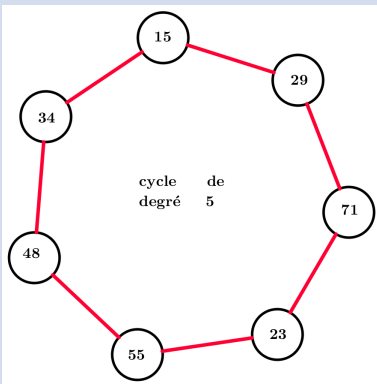
Donc les voisins de $j_1 = 15$ dans le cycle sont $j_3 = 29$ et $j_4 = 34$.

$$\begin{aligned}\Phi_5(X, j_3) = \Phi_5(X, 29) &= X^6 + 67X^5 + 19X^4 + 27X^3 + 51X^2 + 11X + 9 \\ &= (X - 15)(X - 71)(X^4 + 70X^3 + 77X^2 + 76X + 29)\end{aligned}$$

Donc les voisins de $j_3 = 29$ dans le cycle sont $j_1 = 15$ et $j_7 = 71$.

Exemple 20

Avec même processus, on obtient que les voisins de $j_7 = 23$ sont $j_3 = 29$ et $j_2 = 23$, ceux de $j_2 = 23$ sont $j_7 = 71$ et $j_6 = 55$, ceux de $j_6 = 55$ sont $j_2 = 23$ et $j_5 = 48$, et en fin, ceux de $j_5 = 48$ sont $j_6 = 55$ et $j_4 = 64$. On obtient donc le cycle suivant:



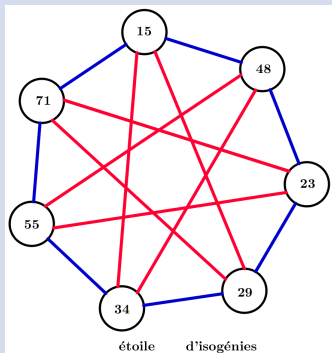
Étoile d'isogénies

Définition 5.2

Un étoile d'isogénie est une superposition de plusieurs cycles d'isogénies faisant intervenir les même j -invariants.

Exemple 21

En superposant les deux cycles précédents, on obtient l'étoile suivante :



Direction dans une étoile d'isogénies

Nous nous plaçons en une courbe E d'un cycle \mathcal{E} de degré l défini sur un corps fini \mathbb{F}_p , E est reliée à deux courbes E_1 et E_2 . On veut une information qui permettra de savoir si l'on va de E vers E_1 ou de E vers E_2 .

$$E_1 \leftarrow I_1 - E \xrightarrow{-I_2} E_2$$

Couveignes, Dawaghe et Morain proposent dans [4] l'utilisation de l'action du morphisme de Frobenius sur le noyau d'une isogénie.

Construction d'un cycle à partir de la courbe E

Supposons que $E : y^2 = x^3 + Ax + B$ est définie sur \mathbb{F}_p , a pour j -invariant j_0 et que l'équation de la norme est vérifiée ($\Delta = t^2 - 4p$). Soit l un nombre premier impair tel que $\left(\frac{\Delta}{l}\right) = 1$. Pour construire le cycle orienté de degré l , on peut procéder comme suit:

- Calculer le polynôme modulaire de degré l $\phi_l(X, Y)$.
- Factoriser $\phi_l(X, j_0)$ dans \mathbb{F}_p et choisir une racine j_1 .
- Déterminer une courbe E_1 de j -invariant j_1 .
- Déterminer une isogénie $I_1 : E \rightarrow E_1$.
- Reprendre les 4 étapes précédentes $h_\Delta - 1$ fois car après h_Δ reprises, on aura $E_{h_\Delta} = E$.
- ??? Déterminer la direction du cycle !!

Parcours dans une étoile d'isogénie

Soit \mathcal{E} une étoile d'isogénies composée de d cycles d'isogénies, dont l'ensemble des degrés est $L = \{l_i; 1 \leq i \leq d\}$.

Définition 5.3

un parcours dans \mathcal{E} est la donnée d'une suite $R = \{r_i, 1 \leq i \leq d\}$ de d entiers relatifs, où r_i représente le nombre de pas faits dans le cycle de degré l_i .

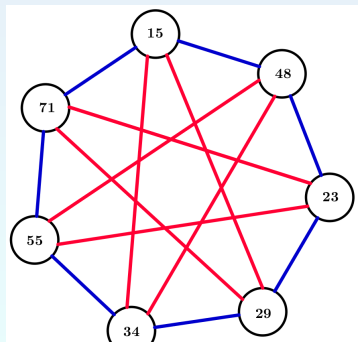
Exemple de parcours

En considérant notre étoile comme ci contre, nous dirigeons tous nos cycle dans le sens trigonométrique.

Soit le parcours $R_1 = \{1, 3\}$, alors en commençant par le noeud 15, on a:

$R_1(15) = 34$, et le chemin suivi est :

$15 \rightarrow 71 \rightarrow 29 \rightarrow 15 \rightarrow 34$



Partie 6: Le cryptosystème de Rostovtsev et Stolbunov

Paramètres du système:

- \mathbb{F}_p : le corps de base, spécifié par p ;
- $E_{init} : y^2 = x^3 + A_{init}x + B_{init}$ une courbe initiale spécifiée par (A_{init}, B_{init}) ;
- d : le nombre de cycles d'isogénies utilisés dans l'étoile d'isogénie;
- $L = \{l_i; 1 \leq i \leq d\}$: l'ensemble des degrés des cycles;
- $F = \{\pi_i; 1 \leq i \leq d\}$: un ensemble constitué d'une valeur propre du morphisme de Frobenius dans chaque cycle (orientation des cycles);
- k : le nombre limite de pas faits dans un cycle; tout parcours $R = \{r_i, 1 \leq i \leq d\}$ vérifie $|r_i| \leq k \forall i$.

Clé privée: un parcours R_{priv} ;

Clé publique: une courbe $E_{pub} = R_{priv}(E_{init}) : y^2 = x^3 + A_{pub}x + B_{pub}$ spécifiée par (A_{pub}, B_{pub}) .

Schéma de chiffrement

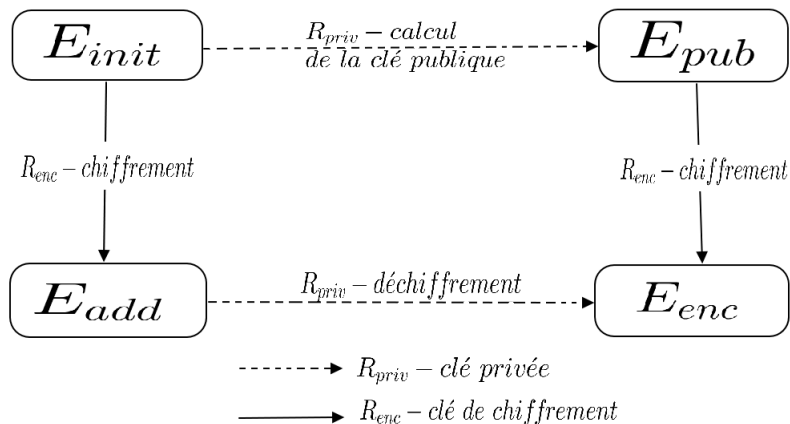


Schéma de chiffrement

Entrées :

- Les paramètres du cryptosystème;
- E_{pub} spécifiée par (A_{pub}, B_{pub}) ;
- $m \in \mathbb{F}_p$: le message clair;

Algorithme:

- Choisir aléatoirement un parcours $R_{enc} = \{r_i, 1 \leq i \leq d\}$, si $R_{enc} = \{0, 0, \dots, 0, 0\}$, répéter cette étape;
- calculer $E_{enc} = R_{enc}(E_{pub})$;
- calculer le chiffré $c = m * j_{enc} \pmod{p}$;
- calculer $E_{add} = R_{enc}(E_{init})$;

Sorties:

- le chiffré c ;
- E_{add} , spécifié par (A_{add}, B_{add}) .

Entrées :

- Les paramètres du cryptosystème;
- la clé privée R_{priv} ;
- le chiffré c ;
- E_{add} , spécifié par (A_{add}, B_{add}) .

Algorithme:

- calculer $E_{enc} = R_{priv}(E_{add})$;
- calculer le message clair $m = \frac{c}{j_{enc}} \pmod{p}$;

Sortie:

- le message clair m .

Un petit exemple

Nous allons faire une illustration (sans point rationnel) en utilisant notre étoile conçu précédemment.

Paramètres du système:

- \mathbb{F}_{83} ; ;
- $E_{init} : y^2 = x^3 + 70x + 81; j_{init} = 55;$
- $d = 2;$
- $L = \{3, 5\};$
- nous considérons le sens trigonométrique;
- $k = 2$ le nombre limite de pas faits dans un cycle;

Clé privée: $R_{priv} = \{2, -1\};$

Calcul de la clé publique: Nous omettons les calculs d'isogénies. En effet à ce niveau, on construit les portions des cycles à utiliser en utilisant la méthode décrite à la diapositive 5, afin d'avoir la courbe E_{pub} . Mais puisque nous avons déjà note cycle (ou du moins les j -invariants des courbes utilisées) et que nous avons

juste besoin du j -invariant dans le chiffrement sans point rationnel, nous déterminons rapidement j_{pub} . $E_{pub} = R_{priv}(E_{init})$ est une courbe de j -invariant

$j_{pub} = R_{priv}(j_{init}) = R_{priv}(55) = 71$. Donc $E_{pub} : y^2 = x^3 + 25x + 33$

Chiffrement: Soit $m = 60$ le message clair

- $R_{enc} = \{1, 1\}$
- $j_{enc} = R_{enc}(j_{pub}) = R_{enc}(71) = 23$. Donc $E_{enc} : y^2 = x^3 + 34x + 24$
- le chiffré: $c = 52 = 60 * 23 \pmod{83}$
- $j_{add} = R_{enc}(j_{init}) = R_{enc}(55) = 48$. Donc $E_{add} : y^2 = x^3 + 58x + 54$

déchiffrement:

- $j_{enc} = R_{priv}(j_{add}) = R_{priv}(48) = 23$. Donc $E_{enc} : y^2 = x^3 + 34x + 24$
- le message clair: $m = 60 = \frac{52}{23} \pmod{83}$

La sécurité de ce cryptosystème est essentiellement basée sur la difficulté du calcul d'isogénies entre deux courbes elliptiques.....

Merci pour votre attention

Bibliographie

- [1] David Kohel, Endomorphisms rings of elliptic curves over finite fields, PhD thesis, Univ. Cali. 1996
- [2] J.G.I. Noordsij, *Primes of the form $x^2 + ny^2$* , Bachelor Thesis, Mathematical Institute, Leiden University, June 2015.
- [3] Johannes Buchmann, Ulrich Vollmer, *Binary Quadratic Forms, An Algorithmic Approach*, Springer.
- [4] J. H. Silverman, *The arithmetic of elliptic curves*, second edition, Springer 2009
- [5] Raza Ali Kazmi, *Isogenies and Cryptography*, A thesis in the departement of Computer Science and Software Engineering, Concordia University, September 2008.
- [6] A. Bostan and F. Morain and B. Salvy AND E. Schost, Fast algorithms for computing isogenies between elliptic curves, 5 May 2006
- [7] Alexander Rostovtsev and Anton Stolbunov, *Public key cryptosystem based on isogenies*, Saint-Petersburg State Polytech. Univ., Dept. of Sec. & Inf. Protec. in Computer System Russia.
- [8] Couveignes J.M., Dewaghe L., Morain F., *Isogeny cycles and the Schoof-Elkies-Atkin algorithm*. Ecole polytechnique, France, 1996.
- [9] Enea Milio, *Calcul de polynômes modulaires en dimension 2*, Thèse de Doctorat, Univ. Bordeaux, 2015.
- [10] Luca De Feo, A lecture note on Isogeny-Based Crypto, Afr. Math. School, Senegal <http://ema2017.lacgaa.com/cours/> (2017)